



Metalle und Legierungen: Beispiel Zinn

Chemische Bindung – Strukturen – Eigenschaften – Anwendungen

Caroline Röhr

AGP-Begleit'vorlesung' (AC-III)

6. November 2024

① Einleitung: Intermetallische Phasen

② Sn, elementar

③ Erinnerung: binäre Phasendiagramme

④ Sn + Cu

⑤ Sn + Nb

⑥ Sn + Cs

⑦ Zusammenfassung

① Einleitung: Intermetallische Phasen

② Sn, elementar

③ Erinnerung: binäre Phasendiagramme

④ Sn + Cu

⑤ Sn + Nb

⑥ Sn + Cs

⑦ Zusammenfassung

Eigenschaften

- ▶ gute elektrische und Wärmeleiter
- ▶ vielfältige (einstellbare) mechanische Eigenschaften (Gefüge!)
- ▶ ungewöhnliche mechanische Eigenschaften ('Gestalterinnernde Legierungen')
- ▶ (ferro)magnetisch
- ▶ Supraleiter
- ▶ heterogen-katalytische Eigenschaften
- ▶ auch nichtkristallin \mapsto metallische Gläser, Quasikristalle

Anwendung

- ▶ mit weitem Abstand wichtigste mechanische Werkstoffe (Maschinen/Anlagenbau)
- ▶ Baustoffe
- ▶ Werkstoffe der Elektrotechnik und Elektronik
- ▶ Magnetwerkstoffe (inkl. Supraleitende Magnete)
- ▶ Heterogenkatalysatoren
- ▶ Elektrodenmaterialien ...

?? Struktur – Eigenschaft ??

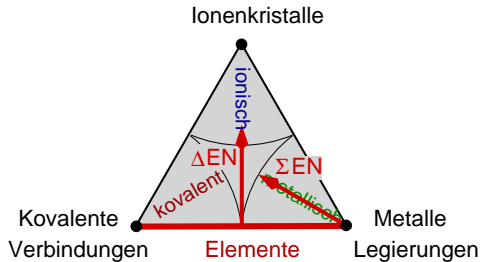
?? Elemente/Elementverhältnisse – Struktur ??

?? Elemente – Elementverhältnisse/chemische Zusammensetzung ??

?? Stabilität ?? chemische Bindung ??

VAN ARKEL¹-KETELAAR²-Dreieck der Bindungstypen

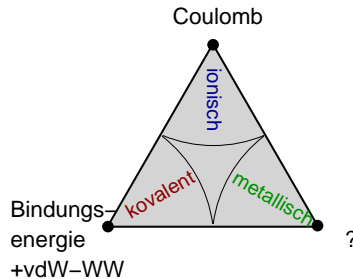
Bindungstypen nach EN



¹: Anton Eduard van Arkel (1983-1976); ²: Jan Arnold Albert Ketelaar (1908-2001)

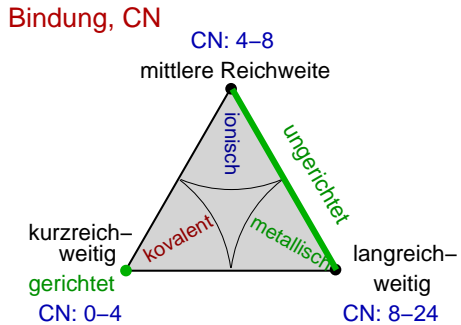
VAN ARKEL¹-KETELAAR²-Dreieck der Bindungstypen

Stabilität?



¹: Anton Eduard van Arkel (1983-1976); ²: Jan Arnold Albert Ketelaar (1908-2001)

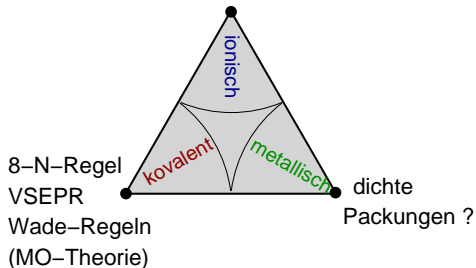
VAN ARKEL¹-KETELAAR²-Dreieck der Bindungstypen



¹: Anton Eduard van Arkel (1983-1976); ²: Jan Arnold Albert Ketelaar (1908-2001)

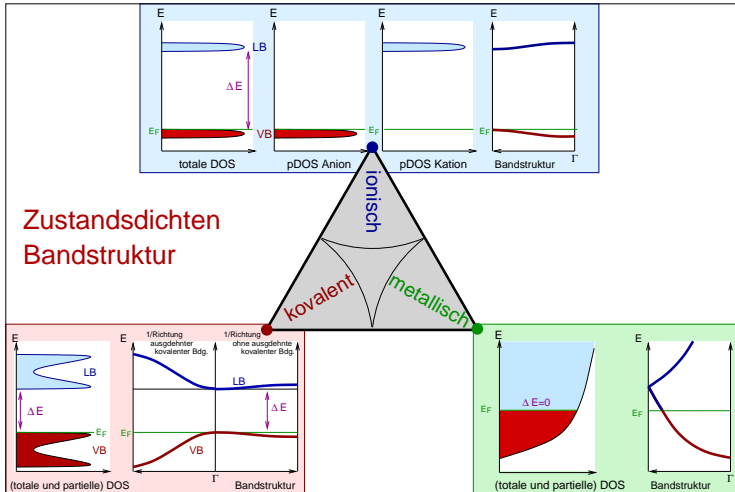
einfache Struktur-Konzepte

Pauling-Regeln



¹: Anton Eduard van Arkel (1983-1976); ²: Jan Arnold Albert Ketelaar (1908-2001)

VAN ARKEL¹-KETELAAR²-Dreieck der Bindungstypen



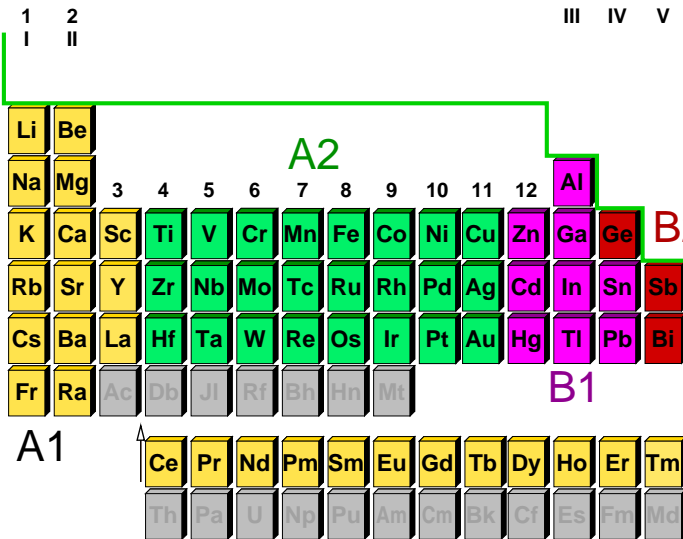
¹: Anton Eduard van Arkel (1983-1976); ²: Jan Arnold Albert Ketelaar (1908-2001)

PSE

The image shows a periodic table of elements with a green line highlighting the transition metals from group 3 to group 12. Below the main table, there is a row of yellow boxes containing lanthanide and actinide elements.

1 I	2 II											III	IV	V	VI	VII	VIII 18
H												B	C	N	O	F	He
Li	Be											Al	Si	P	S	Cl	Ne
Na	Mg	3	4	5	6	7	8	9	10	11	12	Ga	Ge	As	Se	Br	Ar
K	Ca	Sc	Ti	V	Cr	Mn	Fe	Co	Ni	Cu	Zn	In	Sn	Sb	Te	I	Kr
Rb	Sr	Y	Zr	Nb	Mo	Tc	Ru	Rh	Pd	Ag	Cd						Xe
Cs	Ba	La	Hf	Ta	W	Re	Os	Ir	Pt	Au	Hg	Tl	Pb	Bi	Po	At	Rn
Fr	Ra	Ac	Db	Jl	Rf	Bh	Hn	Mt									
Ce	Pr	Nd	Pm	Sm	Eu	Gd	Tb	Dy	Ho	Er	Tm	Yb	Lu				
Th	Pa	U	Np	Pu	Am	Cm	Bk	Cf	Es	Fm	Md	No	Lr				

1	2			III	IV	V
I	II					
Li	Be					
Na	Mg	3	4	5	6	7
K	Ca	Sc	Ti	V	Cr	Mn
Rb	Sr	Y	Zr	Nb	Mo	Tc
Cs	Ba	La	Hf	Ta	W	Re
Fr	Ra	Ac	Db	Jl	Rf	Bh
						Hn
						Mt
Al						
Ga						
Ge						
In						
Sn						
Sb						
Pt						
Au						
Hg						
Tl						
Pb						
Bi						
Ce	Pr	Nd	Pm	Sm	Eu	Gd
Th	Pa	U	Np	Pu	Am	Cm
						Bk
						Cf
						Es
						Fm
						Md
						No
						Lr



A1: Alkali- und Erdalkali-Metalle, Lanthanoide

- ▶ elektropositiv (χ klein)
- ▶ sehr große Metallradien (r_{Metall})

A2: Übergangsmetalle (ohne Zn, Cd, Hg)

- ▶ sehr ähnliche Metallradien
- ▶ vergleichbare Elektronegativitäten
- ▶ unterschiedliche Zahl von Valenzelektronen (v.e.)

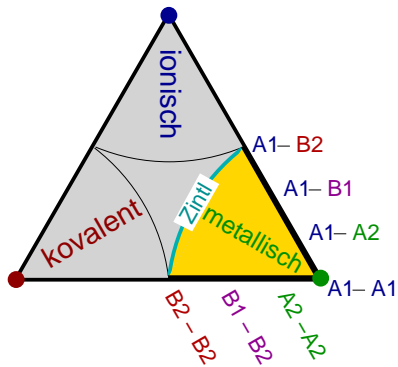
B1: Zn-Gruppe, Triole, Sn und Pb

- ▶ stärker elektronegativ
- ▶ kristallisieren in besonderen Metall-Strukturen, die nicht mit kovalenten Konzepten erklärt werden können

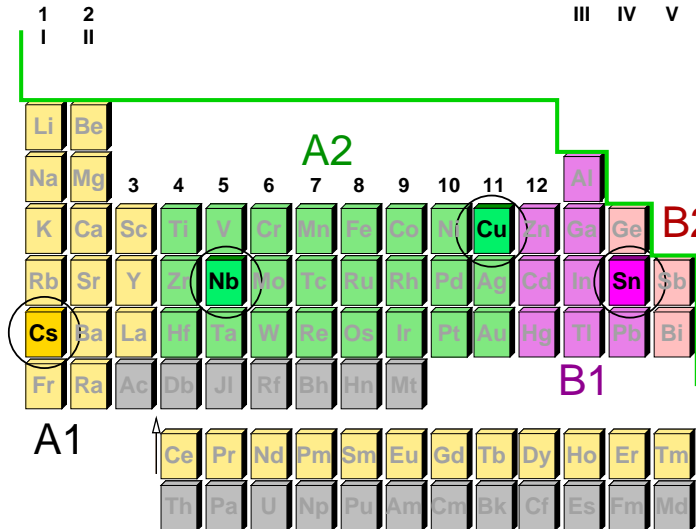
B2: Si, Ge, Elemente der V. und VI. Hauptgruppe

- ▶ Kristallchemie mit der $8 - N$ -Regel erklärbar (GRIMM-SOMMERFELD-Verbindungen)
- ▶ Übergang zu den Nichtmetallen
- ▶ geringe Bandlücken oder zumindestens $\text{DOS}_{E_F} = 0$

Legierungen



PSE: Auswahl Metalle



Strukturbestimmende Größen in intermetallischen Phasen

- ▶ Elektronenzahlen \leftrightarrow v.e.c. (Valenzelektronenkonzentration)
- ▶ Ladungsübertrag $\leftrightarrow \Delta(\chi_{M'} - \chi_{M''})$
- ▶ Radienverhältnisse

VE-Zahl	1	2	3b	5b	1b	3	4
	Na	Mg				Al	Si
χ^1	1.01					1.47	1.74
r_{Kation}^2	139					-	-
r_{Metall}^3	190					143.2	131.9
	K	Ca		V	Cu	Ga	Ge
χ	0.91	1.04			1.9	1.82	2.02
r_{Kation}^2	164	134			-	-	-
r_{Metall}^3	234	197			128	141.1	136.9
	Rb	Sr		Nb	Ag	In	Sn
χ	0.89	0.99		1.60		1.49	1.72
r_{Kation}^2	172	144		-		-	-
r_{Metall}^3	248	215		147		166.3	162.3
	Cs	Ba	La	Ta	Au	Tl	Pb
χ	0.86	0.97	1.08			1.44	1.55
r_{Kation}^2	188	161	136			-	-
r_{Metall}^3	267	224	187			171.6	175.0

¹: Allred-Rochow; ²: Shannon für CN = 12; ³: Gschneidner/Waber für CN = 12



① Einleitung: Intermetallische Phasen

② Sn, elementar

③ Erinnerung: binäre Phasendiagramme

④ Sn + Cu

⑤ Sn + Nb

⑥ Sn + Cs

⑦ Zusammenfassung

Atomare und physikalische Eigenschaften von Zinn

► atomare Eigenschaften

- Elektronenkonfiguration: $5s^2\ 4d^{10}\ 5p^2$ (4 Valenzelektronen)
- $r_{\text{Metall}} = 162.3\ \text{pm}$
- $\chi = 1.72$
- $\lambda = 9.09 \cdot 10^4\ \Omega^{-1}\ \text{cm}^{-1}$

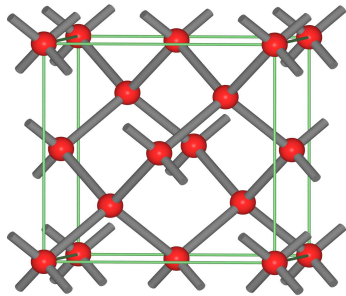
► physikalische Eigenschaften des Elements

- $M_p = 231.91\ ^\circ\text{C}$
- dimorph: $\alpha\text{-Sn} \xrightleftharpoons[< 13.2^\circ\text{C}]{> 13.2^\circ\text{C}} \beta\text{-Sn}; +2.09\ \text{kJ/mol}$



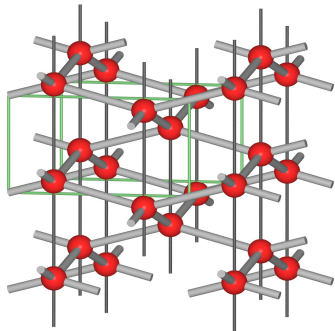
metallisches β -Zinn

α - und β -Zinn: Kristallstrukturen und Eigenschaften



graues Sn ($< 13.2 \text{ } ^\circ\text{C}$)

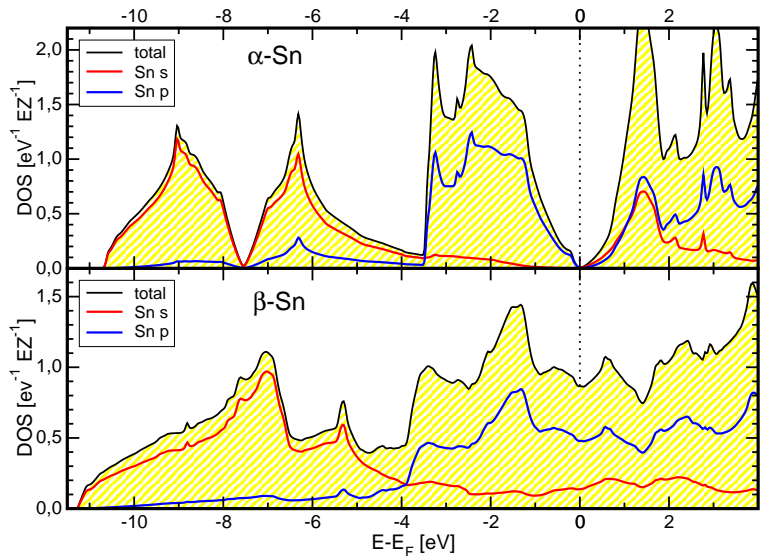
- ▶ $\rho = 5.769 \text{ gcm}^{-3}$
- ▶ spröde
- ▶ Diamantstruktur (A4)
- ▶ CN = 4 ($d_{\text{Sn-Sn}} = 281 \text{ pm}$)
- ▶ Struktur/VRML



metallisches/weißes Sn ($> 13.2 \text{ } ^\circ\text{C}$)

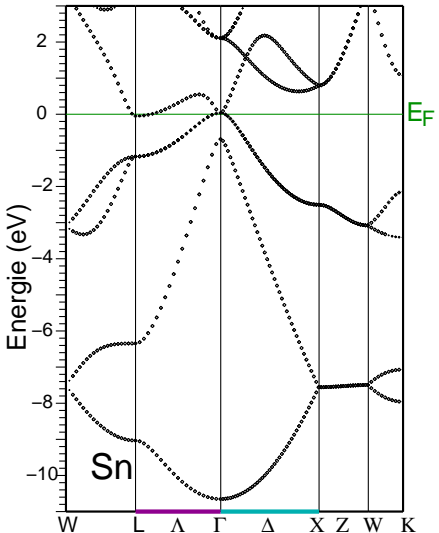
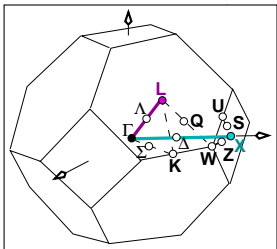
- ▶ $\rho = 7.285 \text{ gcm}^{-3}$
- ▶ eigener Strukturtyp
- ▶ $\text{CN}_{\text{Sn}} = 4 + 2$
 $(d_{\text{Sn-Sn}} = 301.6 \text{ (4x)} + 317.5 \text{ (2x) pm})$
- ▶ Struktur/VRML

Zustandsdichten von α - und β -Zinn



FP-LAPW, Wien2k, 1000 k -Punkte, PBE-GGA

α -Sn: Bandstruktur



FP-LAPW, Wien2k, 1000 k -Punkte, PBE-GGA

① Einleitung: Intermetallische Phasen

② Sn, elementar

③ Erinnerung: binäre Phasendiagramme

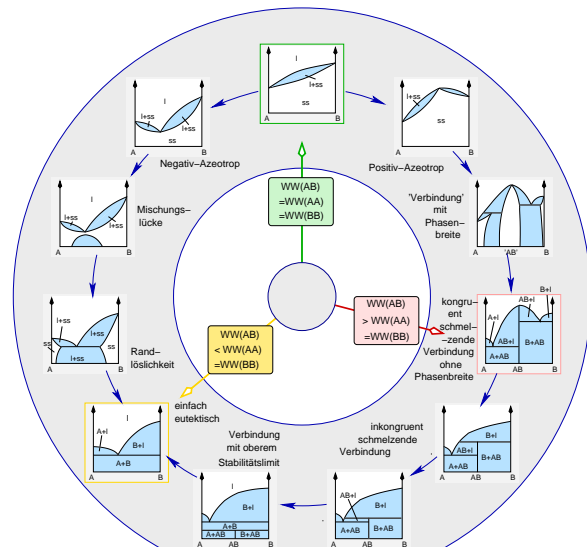
④ Sn + Cu

⑤ Sn + Nb

⑥ Sn + Cs

⑦ Zusammenfassung

Erinnerung: binäre Phasendiagramme



① Einleitung: Intermetallische Phasen

② Sn, elementar

③ Erinnerung: binäre Phasendiagramme

④ Sn + Cu

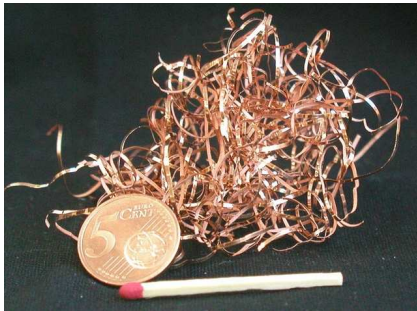
⑤ Sn + Nb

⑥ Sn + Cs

⑦ Zusammenfassung



+



Kupfer: atomare und physikalische Eigenschaften

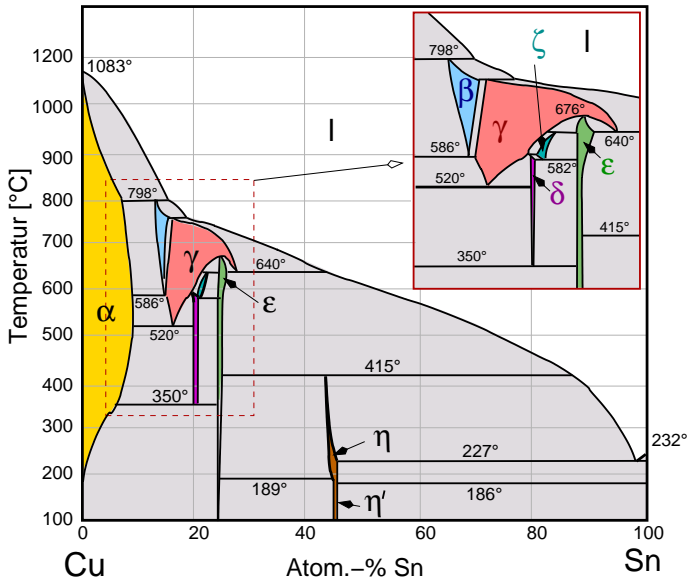
► atomare Eigenschaften

- Elektronenkonfiguration: $4s^1 \ 3d^{10} \ 4p^0$ (1 Valenzelektron)
- $r_{\text{Metall}} = 127.8 \text{ pm}$
- $\chi = 1.75$
- $\lambda = 5.9559 \cdot 10^5 \ \Omega^{-1} \text{ cm}^{-1}$

► physikalische Eigenschaften des Elements

- $M_p = 1083.4 \text{ } ^\circ\text{C}$
- f.c.c.-Struktur

Cu + Sn (Bronze): Phasendiagramm



HUME-ROTHERY-Phasen ('Elektronenverbindungen')

HUME-ROTHERY-Regeln (1928)

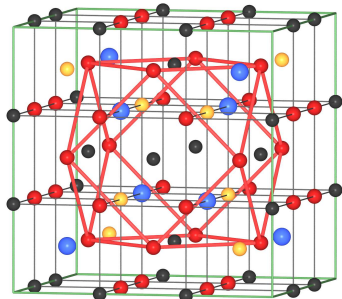


William Hume-Rothery
1899 – 1968
(University of Oxford)

- ▶ Unterschiede der Metallradien <15 %
- ▶ Elektronegativitätsdifferenz klein
- ▶ gleiche Valenzelektronenzahl \leftrightarrow feste Lösungen
- ▶ unterschiedliche Valenzelektronenzahl \leftrightarrow Phasenfolge abhängig von der Valenzelektronenkonzentration (v.e.c.)
 - ▶ α (f.c.c.) bei niedriger v.e.c.
 - ▶ β und β' (b.c.c.) für v.e.c. = $\frac{21}{14} = 1.5$
 Cu_5Sn : $\frac{5 \times 1 + 1 \times 4}{6} = \frac{9}{6} = 1.5$
 - ▶ γ (komplexe b.c.c.-Überstruktur) für v.e.c. = $\frac{21}{13} = 1.615$
 $\text{Cu}_{31}\text{Sn}_8$: $\frac{31 \times 1 + 8 \times 4}{39} = \frac{63}{39} = \frac{21}{13}$
 - ▶ ... δ ... ζ ...
 - ▶ ϵ (h.c.p.) für v.e.c. = $\frac{21}{12} = 1.75$
 Cu_3Sn : $\frac{3 \times 1 + 1 \times 4}{4} = \frac{21}{12}$
 - ▶ η
- ▶ 1936 durch MOTT und JONES mittels NFE-Ansatz (Berührung der Fermikugel mit dem BRILLOUIN-Zonen-Rand) 'erklärt'

Struktur von γ -Messing

3x3x3 b.c.c. – (0,0,0) –(1/2,1/2,1/2)



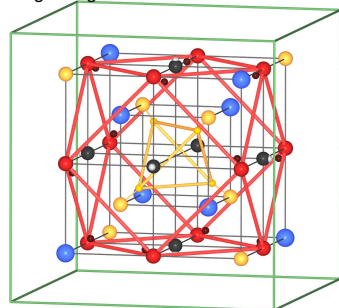
$I\bar{m}\bar{3}m$

Kuboktaeder: Zn 24(g)

Oktaeder: Cu 12(e)

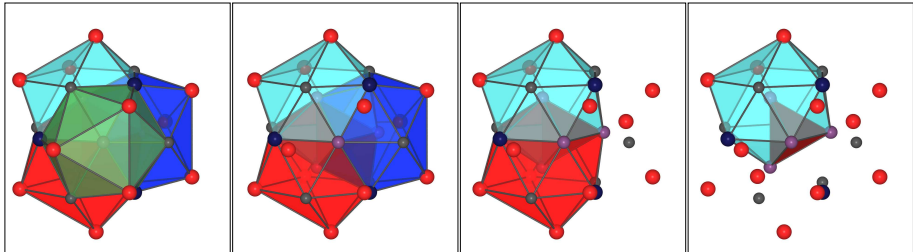
Würfel
Tetraeder: Zn 8(c)
Tetraeder: Cu 8(c)

Umgebung eines 'Lochs'



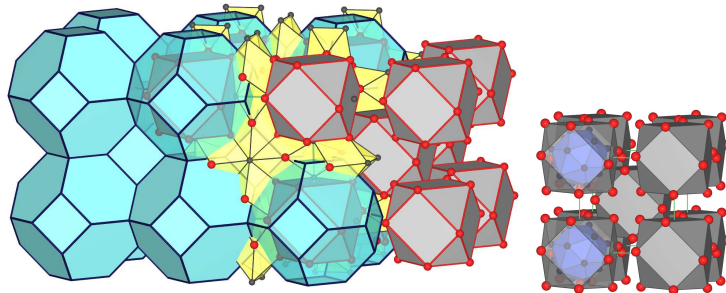
$I\bar{4}3m$

Struktur von γ -Messing

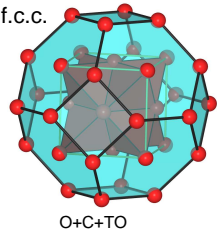


- ▶ Schalen¹ um 'Loch': iT (4, violett) - oT (4, blau) - O (6, schwarz) - CO (12, rot)
↪ 26 Atome
- ▶ iT = gemeinsames Tetraeder von vier einander durchdringenden Ikosaedern
- ▶ rote Zn-Atome bilden äußerer Kuboktaeder (CO)
- ▶ Packung der Kuboktaeder ↓ (ähnlich bei f.c.c., b.c.c. und α -Mn-Struktur)

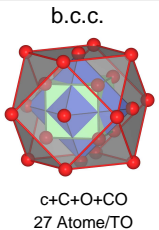
Struktur von γ -Messing



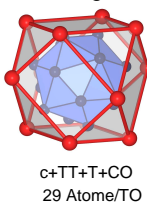
f.c.c.



b.c.c.



α -Mangan



γ -Messing

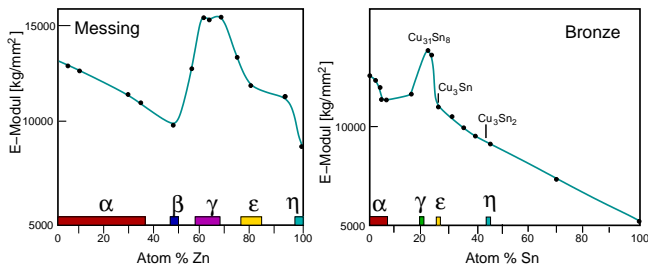


TO: truncated octahedron (β -Käfig, cyan); C: cube; c: center atom

Eigenschaften und Verwendung von Bronze



- ▶ ca. 7 % Sn: für zähfeste Maschinenteile
⇐
- ▶ 20-25 % Sn: Glockenbronze
(für Guß geeignet)



① Einleitung: Intermetallische Phasen

② Sn, elementar

③ Erinnerung: binäre Phasendiagramme

④ Sn + Cu

⑤ Sn + Nb

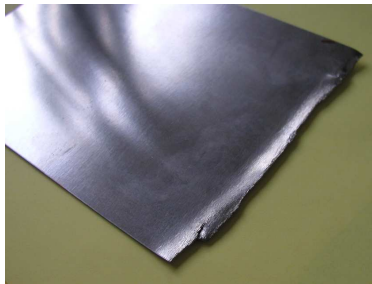
⑥ Sn + Cs

⑦ Zusammenfassung

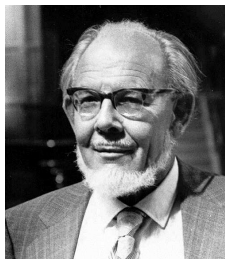
Sn + Nb



+



- ▶ **Nb:** atomare und physikalische Eigenschaften des Elements
 - ▶ Elektronenkonfiguration: $5s^2\ 4d^2\ 5p^1$ (5 Valenzelektronen?)
 - ▶ $r_{\text{Metall}} = 147\ \text{pm}$
 - ▶ $\chi = 1.60$
 - ▶ b.c.c.-Struktur
 - ▶ $M_p = 2468\ ^\circ\text{C}$
 - ▶ $\lambda = 8.0 \cdot 10^4\ \Omega^{-1}\ \text{cm}^{-1}$
- ▶ **Verbindungen:** stöchiometrische Phasen, jeweils mit eigenen Strukturtypen
 - ▶ Nb_3Sn (Cr_3Si -Typ)
 - ▶ Nb_6Sn_5 (Tl_6Sn_5)
 - ▶ NbSn_2 (Mg_2Cu -Typ)

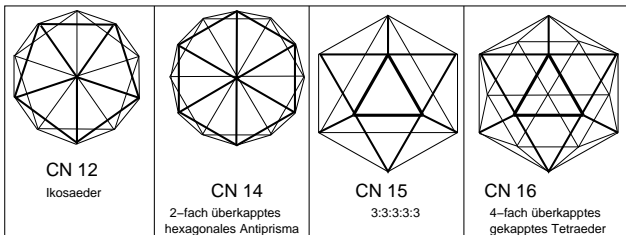


Frederick Charles Frank*
(1911 – 1998)

J. S. Kasper*

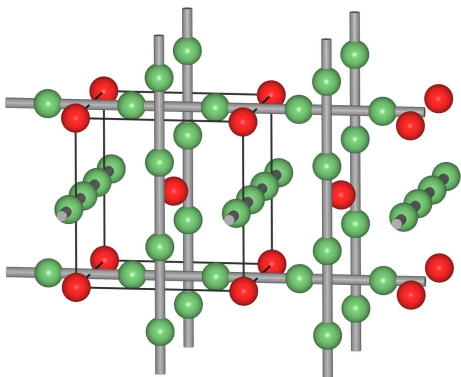
FRANK-KASPER-Strukturen

- ▶ Unterschiede der Metallradien >15 %
- ▶ dichteste Packungen ungleich großer Kugeln
- ▶ Idee: Vermeidung der großen Oktaederlücken \mapsto Tetraederpackungen
- ▶ Koordinationspolyeder ausschließlich mit Dreiecksflächen \mapsto FRANK-KASPER-Polyeder



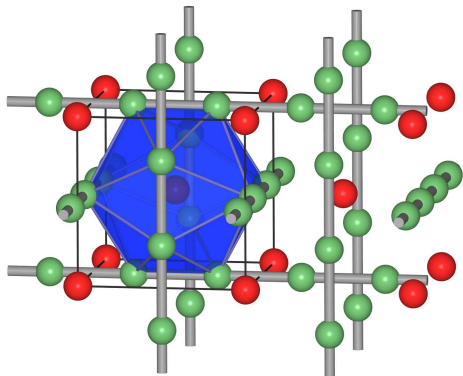
Nb₃Sn: Kristallstruktur

- ▶ Cr₃Si-Typ, kubisch, Raumgruppe $Pm\bar{3}n$
- ▶ $d_{Nb-Nb} = 264.3 \text{ pm}$ ($2\times$)
→ Nb-Ketten mit starker $d-d$ -Wechselwirkung
- ▶ einander durchdringende FK-Polyeder
 - ▶ CN_{Sn} = 12 (Ikosaeder, FK-12)
 - ▶ CN_{Nb} = 14 (doppelt überkapptes hexagonales Antiprisma, FK-14)
- ▶ VRMLs der Strukturen:
 - ▶ ohne Polyeder
 - ▶ mit Ikosaeder
 - ▶ beide Polyeder



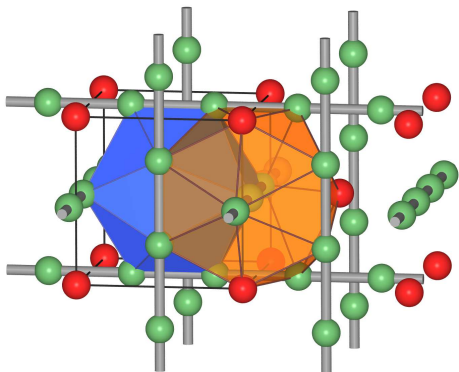
Nb₃Sn: Kristallstruktur

- ▶ Cr₃Si-Typ, kubisch, Raumgruppe $Pm\bar{3}n$
- ▶ $d_{Nb-Nb} = 264.3 \text{ pm}$ ($2\times$)
→ Nb-Ketten mit starker $d-d$ -Wechselwirkung
- ▶ einander durchdringende FK-Polyeder
 - ▶ CN_{Sn} = 12 (Ikosaeder, FK-12)
 - ▶ CN_{Nb} = 14 (doppelt überkapptes hexagonales Antiprisma, FK-14)
- ▶ VRMLs der Strukturen:
 - ▶ ohne Polyeder
 - ▶ mit Ikosaeder
 - ▶ beide Polyeder

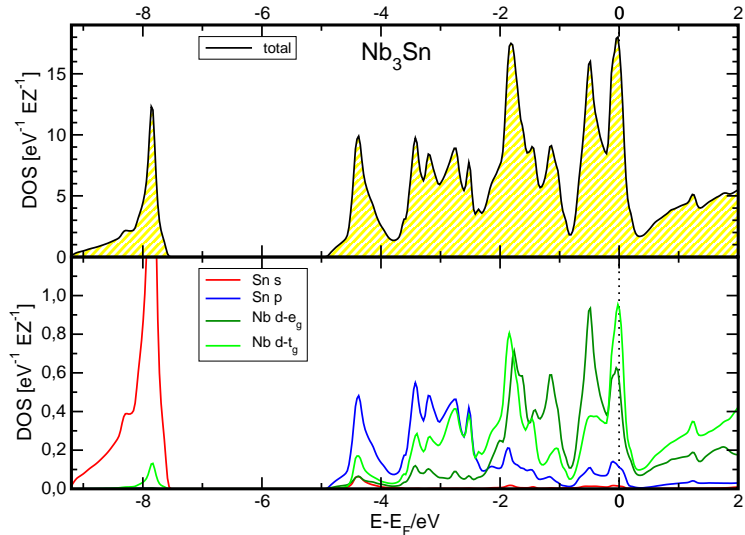


Nb₃Sn: Kristallstruktur

- ▶ Cr₃Si-Typ, kubisch, Raumgruppe $Pm\bar{3}n$
- ▶ $d_{Nb-Nb} = 264.3 \text{ pm}$ ($2\times$)
→ Nb-Ketten mit starker $d-d$ -Wechselwirkung
- ▶ einander durchdringende FK-Polyeder
 - ▶ CN_{Sn} = 12 (Ikosaeder, FK-12)
 - ▶ CN_{Nb} = 14 (doppelt überkapptes hexagonales Antiprisma, FK-14)
- ▶ VRMLs der Strukturen:
 - ▶ ohne Polyeder
 - ▶ mit Ikosaeder
 - ▶ beide Polyeder



Nb_3Sn : Elektronische Struktur (Zustandsdichten)

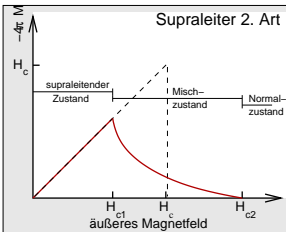
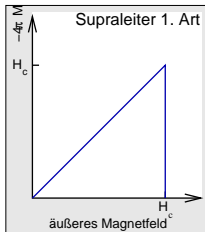


FP-LAPW-Rechnung, 1000 k -Punkte, PBE-GGA

Nb_3Sn : Supraleitende Eigenschaften und Bandstruktur

► Sprungtemperatur: $T_c = 18.3 \text{ K}$

► Supraleiter 2. Art

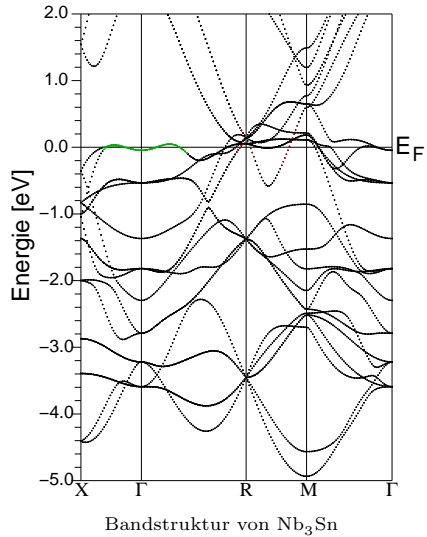


► kritische Magnetfeldstärke: $H_c=30 \text{ T}$

► '2-Band-Modell'

→ direkt bei E_F :

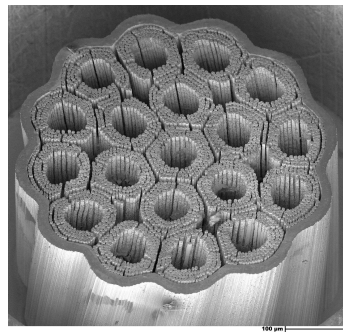
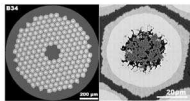
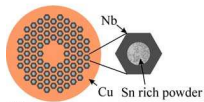
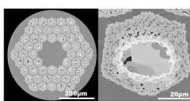
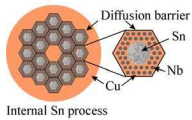
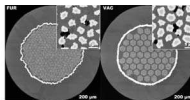
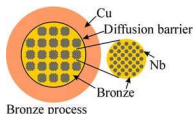
- steile (metallische) und
- flache (kovalente) Bänder



FP-LAPW-Rechnung, 1000 k -Punkte, PBE-GGA

Nb_3Sn : Herstellung und Verwendung

- ▶ Problem: sehr spröde
- ▶ Fertigung von Spulen (z.B. für NMR-Magnete)
 - ▶ 'bronze process' (Nb-Drähte in Bronze)
 - ▶ 'internal tin' Prozess (Cu mit Nb aussen, Sn innen)
 - ▶ 'powder-in-tube' (PIT) Prozeß (Nb-Rohre, mit Sn gefüllt)
 - ▶ Reaktion zu Nb_3Sn erst nach Formgebung (Diffusion bei ca. 700 °C)
- ▶ fs.magnet.fsu.edu (ASC,Image Gallery) ↓



Herstellungverfahren für Nb_3Sn -Drähte/Spulen

SEM-Bild der Nb_3Sn -'Drähte' nach Wegätzen des Kupfers

① Einleitung: Intermetallische Phasen

② Sn, elementar

③ Erinnerung: binäre Phasendiagramme

④ Sn + Cu

⑤ Sn + Nb

⑥ Sn + Cs

⑦ Zusammenfassung



Caesium: atomare und physikalische Eigenschaften des Elements

► atomare Eigenschaften

- ▶ Elektronenkonfiguration: $6s^1$ (1 Valenzelektron)
- ▶ $r_{\text{Metall}} = 267 \text{ pm}$
- ▶ $r_{\text{Cs}^+} = 188 \text{ pm}$
- ▶ $\chi = 0.86$
- ▶ $\lambda = 5.0 \cdot 10^4 \Omega^{-1} \text{ cm}^{-1}$

► physikalische Eigenschaften des Elements

- ▶ $M_p = 28 \text{ }^\circ\text{C}$
- ▶ b.c.c.-Struktur
- ▶ extrem luft- und feuchtigkeitsempfindlich



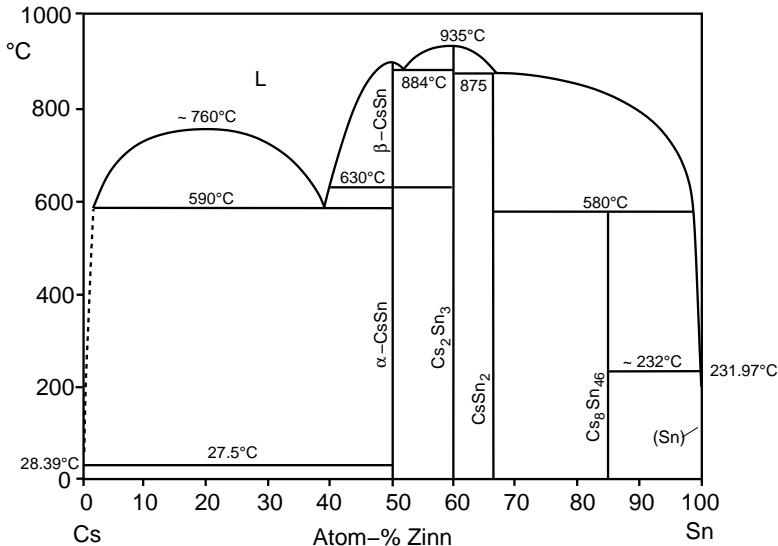
Eduard Zintl

1898 – 1941

(FR: 1928 – 1933)

- ▶ 'ionische' Zerlegung in A^{n+} -Kationen (A1) und
 $M\text{-(Poly)-Anionen (B1/B2): } A_x M_y \xrightarrow[\text{Zintl}]{\text{nach}} x A^{n+} + [M_y]^{xn-}$
- ▶ kovalente Bindung im $M\text{-(Poly)-Anion } [M_y]^{xn-}$
 - ▶ isostruktuell zu isoelektronischen Elementen (ZINTL)
 - ▶ Bindigkeit folgt der 8 – N-Regel (ZINTL-KLEMM-BUSMANN)
 - ▶ WADE-Regeln für elektronenarme Anionen
- ▶ physikalische Eigenschaften
 - ▶ 'Strich'-Verbindungen (keine Phasenbreiten)
 - ▶ relativ hohe Schmelzpunkte
 - ▶ Halbleiter (schmale Bandlücke)
- ▶ elektronische Strukturen
 - ▶ keine A -pDOS unterhalb E_F (A -Kationen!)
 - ▶ Valenzband mit M - p -Charakter
 - ▶ Leitungsband mit M - $4p$ - und/oder A - s/d -Charakter
 - ▶ M - s/p -Mischung vom chemischen Charakter von M und von Dimensionalität des Polyanions abhängig
 - ▶ bindungskritische Punkte auf M – M -Bindungen

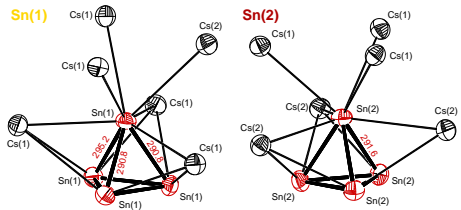
Phasendiagramm des Systems Cs – Sn



nach MASSALSKI

β -CsSn (VE/M=5)

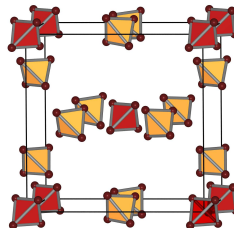
- β = Hochtemperaturform
- Synthese aus den Elementen
- Abschrecken der Schmelze von 700 °C
- ionische Zerlegung:
 $4\text{CsSn} \xrightarrow[\text{Zintl}]{\text{nach}} 4\text{Cs}^+ + \text{Sn}_4^{4-}$
- Sn_4^{4-} isoelektronisch zu $\text{P}_4 \Rightarrow$



Ortep-Darstellung der beiden Anionensorten

Strukturtyp	KGe
Kristallsystem	kubisch
Raumgruppe	$P\bar{4}3n$, Nr. 218
Gitterkonstante [pm] a	1444.74
Z	32
R -Werte	$R1$ 0.0395
	$wR2$ 0.0709
$d_{\text{Sn-Sn}}$ [pm]	291 - 295

Kristallographische Daten



Elementarzelle

Tetrelide $A^I M^{IV}$ (VE/M=5)

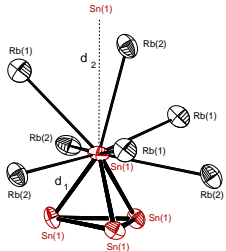


	Si	Ge	Sn	Pb
Na	■	■	■	■
K	■	■	■	■
Rb	■	■	■	■
Cs	■	■	■	■

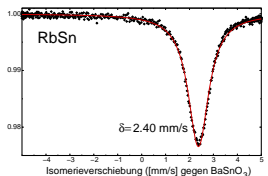
Anionen-
packung

- NaSi-Typ f.c.c.
- KGe-Typ Cr₃Si
- NaPb-Typ b.c.c.

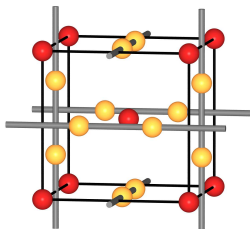
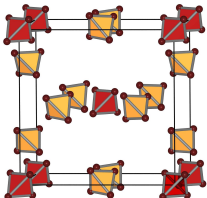
AM-Strukturtypen



Sn_4^{4-} -Anion in RbSn



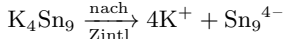
¹¹⁹Sn-Mößbauer-Spektrum



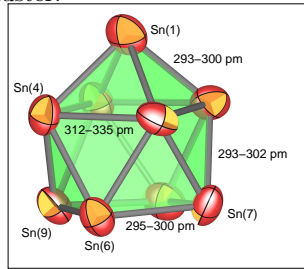
Anionen-Packung im KGe-Typ

K₄Sn₉ (VE/M=4.44)

- #### ► ionische Zerlegung:



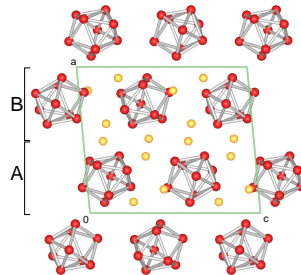
- Cluster:



- #### ► e⁻-Bilanz für den Cluster:

$$\underbrace{9 \times 4}_{\text{Sn}} + \underbrace{4}_{\text{Ldg.}} - \underbrace{18}_{s/\text{l.p.}} = 22$$

- 11 e⁻-Paare = N + 2 (nido-Form)

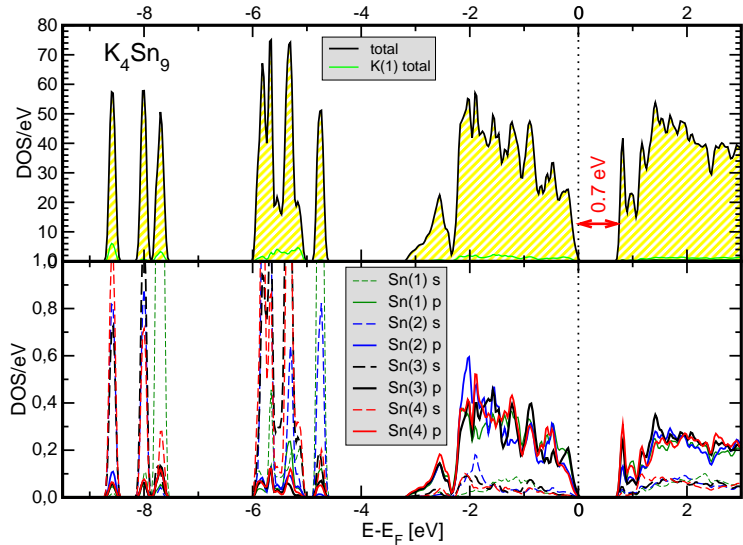


Elementarzelle der Struktur von K_4Sn_9

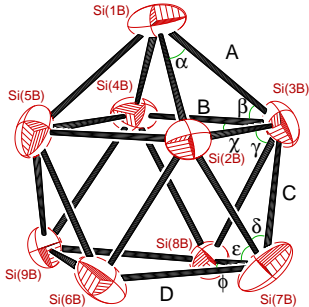
Kristallsystem		monoklin
Raumgruppe		$P2_1/c$, Nr. 14
Gitterkonstanten a [pm, °]	b	1423.8(2)
	c	835.5(1)
	β	1648.7(3)
Z		4
R -Wert	$R1$	0.027

Kristallographische Daten

K_4Sn_9 : Totale und partielle Sn Zustandsdichte



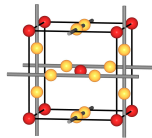
WADE-Cluster [M_9]



N	Cluster	Gesamtzahl an		Exo- e^- -	Gerüst- e^- -Paare	WADE-Cluster
		Elektronen	e^- -Paaren	Paare		
9	$[Sn_9]^{4-}$	$(4 \times 9) + 4 = 40$	20	9	$11 = N + 2$	<i>nido</i>
9	$[Bi_9]^{5+}$	$(5 \times 9) - 5 = 40$	20	9	$11 = N + 2$	<i>nido</i>
9	$[Sn_9]^{2-}$	$(4 \times 9) + 2 = 38$	19	9	$10 = N + 1$	<i>creso</i>
8	$[Bi_8]^{2+}$	$(5 \times 8) - 2 = 38$	19	8	$11 = N + 3$	<i>arachno</i>

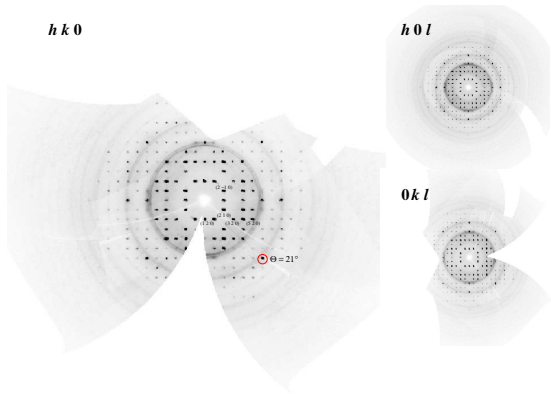
Cs_4Sn_9 ?¹

- ▶ plastisch-kristalline Phase
- ▶ keine Hochwinkelreflexe mehr
- ▶ $a = 1655 \text{ pm}$, kubisch, hohe Laueklasse ($R_{\text{int}} = 5.78 \%$)
- ▶ Cr_3Si -Anordnung komplett fehlgeordneter Sn_9 -Cluster:



Schwerpunkte der trudelnden Cluster

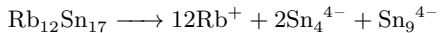
- ▶ keine Atome lokalisierbar
- ▶ für Rb_4Sn_9 : pseudo-kubische, stark fehlgeordnete Struktur berichtet²



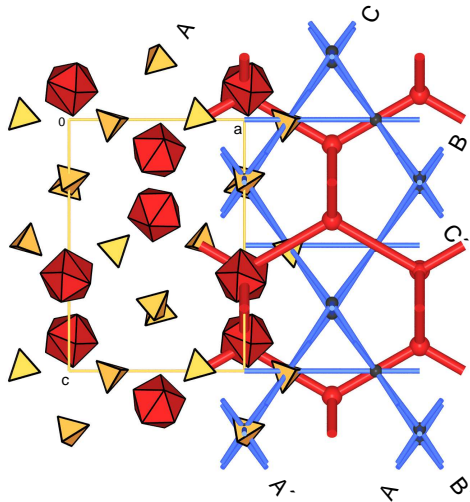
Rekonstruierte Äquatoren der Beugungsbilder von Cs_4Sn_9

¹B. Lehmann, C.R., Z. Kristallogr. **39**, 100 (2019); ²M. Baitinger, Dissertation TU Darmstadt (2000).

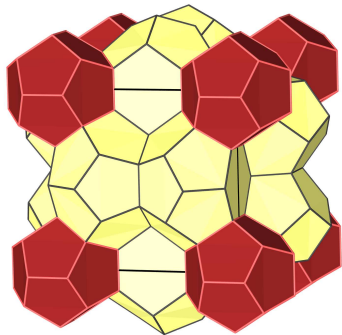
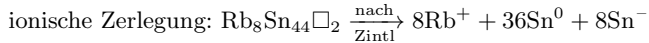
Rb₁₂Sn₁₇ (VE/M=4.71)



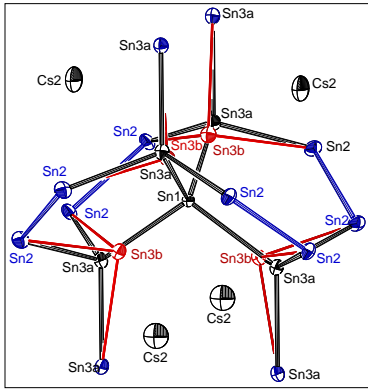
Kristallsystem	orthorhombisch
Raumgruppe	$P2_12_12_1$, Nr. 19
Z	4
Gitterkonstanten	$a = 1504.1$ $b = 1539.3$ $c = 2147.8$
R-Wert	0.0813



$A_8Sn_{44}\square_2$ ($A=Rb, Cs$) (VE/ $M=4.18$)



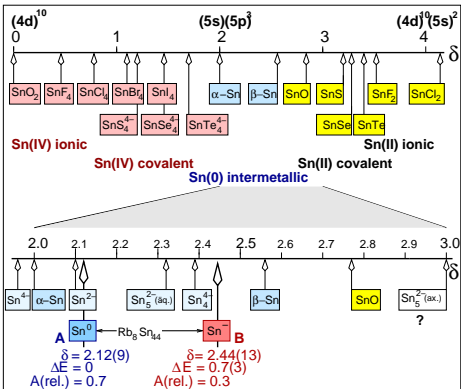
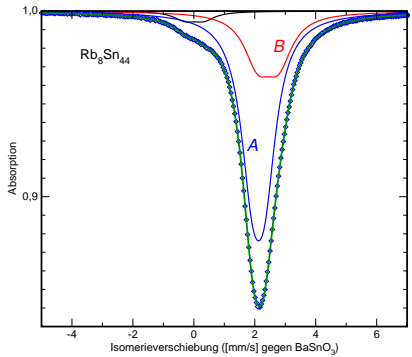
Clathrat-I-Struktur



Ausschnitt aus der Kristallstruktur

J. Gallmeier, H. Schäfer, A. Weiss, *Z. Naturforsch.* **24b**, 665-667 (1969); J.-T. Zhao, J. D. Corbett, *Inorg. Chem.* **33** 5721 (1994); G. Frisch, C. Hoch, C.R., P. Zönnchen, K.-D. Becker, D. Niemeier, *Z. Anorg. Allg. Chem.* **629**, 1661 (2003); + ...

Rb₈Sn₄₄: ¹¹⁹Sn-Mößbauer-Spektrum



① Einleitung: Intermetallische Phasen

② Sn, elementar

③ Erinnerung: binäre Phasendiagramme

④ Sn + Cu

⑤ Sn + Nb

⑥ Sn + Cs

⑦ Zusammenfassung

Zusammenfassung

► Allgemeines zu Metallen/Legierungen

- ▶ praktisch und technisch wichtige Verbindungsklasse
- ▶ Klassifizierung der Metalle (A1, A2, B1, B2), erlaubt auch grobe Gruppierung der Legierungstypen
- ▶ mit/ohne Phasenbreiten (Verbindungen?, Phasen?)
- ▶ keine einfachen Konzepte zur Erklärung von Strukturen
- ▶ Verständnis der chemischen Bindung schwierig
- ▶ geometrische ↔ elektronische Struktur ↔ physikalische Eigenschaften
 ↳ Erklärungen mit aktueller FK-Theorie möglich

► Beispiel: Zinn und seine Legierungen

- ▶ Sn + viele B1/B2-Elemente ↳ meist keine Verbindungsbildung
- ▶ Sn + A2 (Cu): HUME-ROTHERY-Phasen/Elektronenverbindungen (Bronze)
- ▶ Sn + A2 (Nb): FRANK-KASPER-Phasen, Nb_3Sn (Cr_3Si -Typ) als Supraleiter
- ▶ Sn + A1 (Cs): ZINTL-Phasen: einfache Erklärung von Zusammensetzung und Struktur, Halbleiter
 - Erdalkali/Lanthanoid-Stannide ↳ häufig nicht mehr elektronenpräzise
 - ebenso Trielide (Gallide, Indide, Thallide)

► Literatur

- ▶ Lehrbücher zur Strukturchemie (z.B. U. Müller: Anorganische Strukturchemie)
- ▶ Volltext-Vorlesung **Intermetallische Phasen**
(wieder im SS25 als V-VL mit München+Regensburg)

...

**** ! DANKE ! ****